

くり返し荷重を受ける連続ばかりの弾塑性解析

九州大学 工学部 正員 山崎徳也

" " 学生員 石川信隆

" " " ○松隈秀信

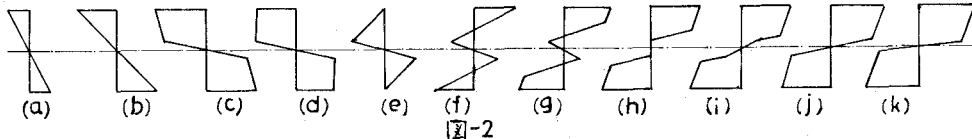
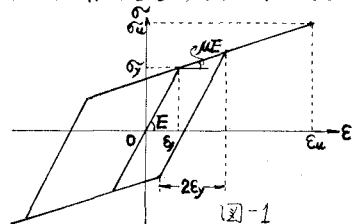
1 緒言

弹性限度を越えたくり返し移動荷重による不静定ばかりのたわみ安定性に関する既往の報告としては、福本・吉田氏らの崩壊メカニズムによる変形硬化荷重を求めたものおよび収束たわみに関する理論的実験的研究が挙げられるが、いずれの研究も歪硬化の影響を無視している。

本研究は上記研究とはその観点あくまで手法を異にするもので、まずくり返し荷重の場合に慣用のBilinear型の応力-歪関係を用いて厳密M-中関係式を求め、次いでエネルギー等置条件よりBilinear型の近似M-中関係式を誘導し、さらにゆ一法公式を用いてくり返し移動荷重を受ける連続ばかりの弾塑性解析を確立するとともに、初期降伏時より最終崩壊時に至る全過程のたわみ性状を解明せんとするものである。

2. 近似M-中関係式の誘導

応力-歪関係を図-1のじとへBilinear型のモデルに仮定すれば、くり返し曲げモーメントを受ける矩形断面に生ずる応力分布は図-2のじとくなり、これらの応力分布を用うれば曲げモーメントMと曲率 ϕ との関係式がそれぞれ次式のことと求められる。



(i) 負荷 (ii) 弹性範囲 (図-2(a)~(b))

$$M/M_y = \phi/\phi_0, \quad 0 \leq \phi/\phi_0 \leq 1 \quad (1)$$

ここで、 M_y, ϕ_0 : 初期降伏時の曲げモーメントおよび曲率

(iii) 弾塑性範囲 (図-2(c))

$$M/M_y = \{3 - (\phi/\phi_0)^2\}/2 + \{\phi/\phi_0 + \phi_0^2/2\phi^2 - 3/2\}\mu, \quad 1 \leq \phi/\phi_0 \leq \phi_0/\phi \quad (2)$$

ここで、 μ : 局部座屈としての限界歪とに基づく限界曲率

(iv) 除荷 (i) 図-2(d)~(f)

$$M/M_y = \{3 - [2\phi/\phi_0 + (\phi/\phi_0)^2] + 2\phi/\phi_0\}/2 + \{\phi/\phi_0 + \phi_0^2/2\phi^2 - 3/2\}\mu, \quad \phi_0/\phi - 2 \leq \phi/\phi_0 \leq \phi_0/\phi \quad (3)$$

ここで、 ϕ_0 : 除荷直前の曲率

(v) 図-2(g)~(j)

$$M/M_y = \{-3 - (\phi/\phi_0)^2 + 8\phi_0^2/(\phi_0 - \phi)^2\}/2 + \{\phi/\phi_0 + \phi_0^2/2\phi^2 + 3/2 - 4\phi_0^2/(\phi_0 - \phi)^2\}\mu, \quad -\phi_0/\phi \leq \phi/\phi_0 \leq \phi_0/\phi - 2 \quad (4)$$

(vi) 図-2(k)

$$M/M_y = \{-3 - (\phi/\phi_0)^2\}/2 - \{\phi/\phi_0 + \phi_0^2/2\phi^2 - 3/2\}\mu, \quad -\phi_0/\phi \leq \phi/\phi_0 \leq -\phi_0/\phi \quad (5)$$

式(1)～式(5)よりM-中関係は μ をパラメータとして図-3のじとへ表わされる。

しかし、以上の厳密M-中曲線は以後の解析を極めて煩雑ならしむるゆえ、ここでは図-4のじと

塑性域のM-φ曲線をABおよびBCの2本の直線で近似することとする。

ここで、未知のM-φ近似直線の勾配を示すとおよび臨界曲げモーメント \bar{M}_y はエネルギー等置条件および幾何学的条件によって決定され、それそれぞれ次式のようになる。

$$\left. \begin{aligned} x &= \frac{\phi_u/\phi - \phi/\phi}{M_u/M_y - M_\mu/M_y} \\ \frac{\phi}{\phi} &= \frac{\bar{M}_y}{M_y} = \frac{3(\phi_u/2\phi + \phi/2\phi - 1)}{\phi_u/\phi + \phi/2\phi - 3/2} \end{aligned} \right\} (6)$$

$$\text{ただし, } M_u/M_y = \{3 - (\phi_u/\phi)^2/2 + \{\phi_u/\phi + \phi/2\phi^2 - 3/2\}\mu\}$$

式(6)中の μ は平面保持の仮定による $\phi_u/\phi = \epsilon_u/\epsilon_y = (6\phi_u/1 - 1)/\mu + 1$ (ただし ϵ_u : 极限強さ σ_u に対応する歪の値)と求められるので、結局鋼材の機械的性質によって決まる ϵ_u および μ を与えれば μ の値が算出されることになる。

いま ϵ_u/ϵ_y すなわち ϕ_u/ϕ を10より50まで10刻みに、 μ を0.01より0.05まで0.01刻みに変化させて μ の値を求めれば表-1がえられ、これらを実用に供すべく図表化すれば図-5のこととなる。

よって近似M-φ関係は、図-6のとく全てのくり返し応力状態を包含した平行四辺形ABCDAにモデル化され、これら直線AB, BC, CD, DAに対応するM-φ関係式はこれを次式のことへ表わされる。

(1) AB部(Case1)

$$\phi = x[M - (\bar{M}_{y_a} - EI\phi_a/x)]/EI, M \geq \bar{M}_{y_a} \quad \dots \dots (7)$$

ただし、 $\bar{M}_{y_a} = M_a + 2\bar{M}_y$, \bar{M}_{y_a}, ϕ_a : A点の曲げモーメントおよび曲率
 M_a : D点の曲げモーメント

(2) BC部(Case2)

$$\phi = [M - (M_a - EI\phi_a)]/EI, \bar{M}_{y_a} \leq M \leq M_a \quad \dots \dots (8)$$

ただし、 $\bar{M}_{y_a} = M_a - 2\bar{M}_y$, M_a, ϕ_a : B点の曲げモーメントおよび曲率
 \bar{M}_{y_a} : C点の曲げモーメント

(3) CD部(Case3)

$$\phi = x[M - (\bar{M}_{y_c} - EI\phi_c/x)]/EI, M \leq \bar{M}_{y_c} \quad \dots \dots (9)$$

ただし、 ϕ_c : C点の曲率

(4) DA部(Case4)

$$\phi = [M - (M_a - EI\phi_a)]/EI, M_a \leq M \leq \bar{M}_{y_a} \quad \dots \dots (10)$$

ただし、 ϕ_a : D点の曲率

よって以下の解析の簡易化を図るため、式(7)～式(10)の式表現を次式のことへ一般表示し、たゞ係数内容のみを変化させることにする。すなわち、

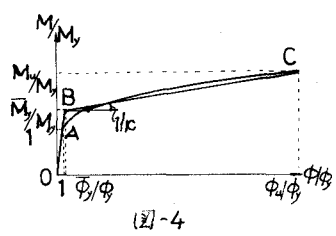
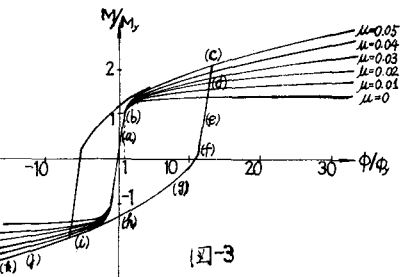
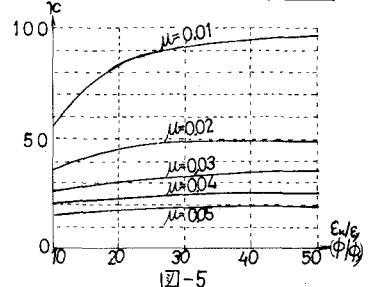


表-1

μ	ϵ_u/ϵ_y	x	M/M_y	M_u/M_y
0.01	1.0	56.585	1.4286	1.5800
	2.0	84.142	1.4634	1.6838
	3.0	92.301	1.4754	1.7325
	4.0	95.530	1.4815	1.8347
	5.0	97.097	1.4851	1.9418
0.02	1.0	36.238	1.4286	1.6651
	2.0	45.729	1.4634	1.8688
	3.0	48.017	1.4754	2.0615
	4.0	48.868	1.4815	2.2697
	5.0	49.291	1.4851	2.4678
0.03	1.0	26.654	1.4286	1.7502
	2.0	31.398	1.4634	2.0538
	3.0	32.447	1.4754	2.3545
	4.0	32.832	1.4815	2.6547
	5.0	33.011	1.4851	2.7558
0.04	1.0	21.079	1.4286	1.8382
	2.0	23.906	1.4634	2.2398
	3.0	24.504	1.4754	2.6395
	4.0	24.720	1.4815	3.0397
	5.0	24.820	1.4851	3.4398
0.05	1.0	17.433	1.4286	1.9202
	2.0	19.301	1.4634	2.4238
	3.0	19.685	1.4754	2.9245
	4.0	19.822	1.4815	3.4247
	5.0	19.886	1.4851	3.7248



$$\phi = \bar{x}(M - \bar{M})/EI \quad (11)$$

ここに係数 \bar{x} やび \bar{M} は表-2 に示す内容となり、各 Case に応する値を用いることになる。

3. くり返し移動荷重を受ける連続ばかりの弾塑性解析法

2. で導いた近似 $M - \phi$ 関係および $\phi - \theta$ 法公式を利用して以下に連続ばかりの弾塑性解析法を解説する。

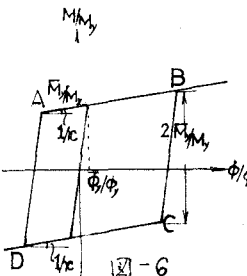


図-6

表-2

	\bar{x}	\bar{M}
Case 1	x	$M_{ya} - EI\phi_a/x$
Case 2	1	$M_a - EI\phi_a$
Case 3	x	$M_{ya} - EI\phi_a/x$
Case 4	1	$M_a - EI\phi_a$
$\phi_a = \phi_a(M_{ya}, M_a)/EI$		
$\phi_a = \phi_a(M_{ya} + M_a)/EI$		

図-7 に示すとき 2 スパン連続ばかりに集中荷重 P が A より B, C 方向に、またより B, A 方向にくり返し移動載荷するとき、初期降伏時より最終崩壊時に至る全過程のたわみを求めねば次のとくである。

(1) 不静定量の算定

まず、くり返し移動荷重 P を支点 A より移動距離 s なる Δ 軟に載荷するときの仕事 Δ の曲げモーメントは、B 点の曲げモーメント M_B を不静定量として次式のとく表わされる。

(a) $0 \leq s \leq l$ の場合

$$M = M_B x/l + P(l-s)x/l, \quad 0 \leq x \leq s \\ \text{ただし, } x: \text{支点 A より仕事点までの距離} \quad (12)$$

$$M = M_B x/l + Ps(l-x)/l, \quad s \leq x \leq l$$

$$M = M_B(2l-x)/l, \quad l \leq x \leq 2l$$

(b) $l \leq s \leq 2l$ の場合

$$M = M_B x/l, \quad 0 \leq x \leq l \\ M = M_B(2l-x)/l + P(2l-s)(x-l)/l, \quad l \leq x \leq s \quad (13)$$

$$M = M_B(2l-x)/l + P(s-l)(2l-x)/l, \quad s \leq x \leq l$$

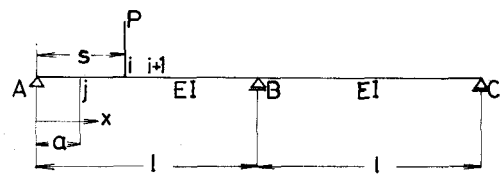


図-7

つぎに部材 A, B および B, C の B 点のたわみ角 θ_B を $\phi - \theta$ 法公式を用いてそれそれ次式で与えられる。

$$\theta_{BA} = \int_0^l \phi(-x/l) dx \quad (14)$$

$$\theta_{BC} = \int_l^{\infty} \phi(2l-x)/l dx \quad (15)$$

一方、B 点におけるたわみ角の連続条件 $\theta_{BA} = \theta_{BC}$ より、式(14)と式(15)を等置して次式をうる。

$$\int_0^l \phi(x/l) dx + \int_l^{\infty} \phi(2l-x)/l dx = 0 \quad (16)$$

よって式(16)に式(11), (12), (13)を代入したうえで M_B について解けば、所要の不静定量が次式のとく求められる。

(c) $0 \leq s \leq l$ の場合

$$M_B = \left[-P(l-s) \int_0^l \bar{x} \left(\frac{x}{l}\right)^2 dx - Ps \int_0^l \bar{x} \left(\frac{l-x}{l}\right) \left(\frac{x}{l}\right) dx + \int_0^l \bar{x} \bar{M} \left(\frac{x}{l}\right) dx + \int_l^{\infty} \bar{x} \bar{M} \left(\frac{2l-x}{l}\right) dx \right] / \left[\int_0^l \bar{x} \left(\frac{x}{l}\right)^2 dx + \int_l^{\infty} \bar{x} \left(\frac{2l-x}{l}\right)^2 dx \right] \quad (17)$$

(d) $l \leq s \leq 2l$ の場合

$$M_B = \left[-P(2l-s) \int_0^l \bar{x} \left(\frac{x-l}{l}\right) \left(\frac{2l-x}{l}\right) dx - P(s-l) \int_0^l \bar{x} \left(\frac{2l-x}{l}\right)^2 dx + \int_0^l \bar{x} \bar{M} \left(\frac{x}{l}\right) dx + \int_l^{\infty} \bar{x} \bar{M} \left(\frac{2l-x}{l}\right) dx \right] / \left[\int_0^l \bar{x} \left(\frac{x}{l}\right)^2 dx + \int_l^{\infty} \bar{x} \left(\frac{2l-x}{l}\right)^2 dx \right] \quad (18)$$

式(17), (18)の演算は当初 \bar{x} , \bar{M} が未知なるゆえ、まず第1次近似として M_B の弹性値すなわち式(17), (18)に $\bar{x} = 1$, $\bar{M} = 0$ を代入した値を用い以後式(12), (13)および表-2 の値を用いるくり返し試算となる。

なお、式(17), (18)中の積分を行なうに当り、 \bar{x} , \bar{M} が各断面においてそれそれ異なる値となるため、

ここでは部材を n 等分して、区間長 $\Delta l = l/n$ 内では \bar{x} および \bar{M} の値を一定と見做すこととした。

(2)たわみの算定

支点 A より a なる距離より奥のたわみ δ および a の値に応じてそれそれ異なるが、いま一例として $0 \leq s \leq l$ および $0 \leq a \leq s$ の場合を考えれば奥のたわみ δ が ϕ -法公式を用いて次式のとく求められる。

$$\delta_i = a\theta_A - \frac{1}{EI} \left[\left\{ M_B + P(l-s) \right\} \int_0^a \bar{x} \frac{x(a-x)}{l} dx - \int_0^a \bar{x} \bar{M}(a-x) dx \right] \quad (11)$$

$$\text{ただし, } \theta_A = \frac{1}{EI} \left[M_B \int_0^a \bar{x} \left(\frac{x}{l} \right) dx + P \left\{ (l-s) \int_0^a \bar{x} \left(\frac{x}{l} \right) dx + s \int_s^l \bar{x} \left(\frac{l-x}{l} \right) dx \right\} - \int_0^l \bar{x} \bar{M} \left(\frac{l-x}{l} \right) dx \right]$$

ここに式(11)中の積分演算は式(17), (18)のそれに準ずる。

(3)解法の手順

(i) まずデータとして鋼材の材料試験よりえられる μ , e_u を与え、近似 M - ϕ 関係に関する \bar{x} , \bar{M} を決定する。
(ii)ついで弹性解析を行ない最大弹性曲げモーメントが臨界曲げモーメント M_y に達するときの荷重すなわち初期降伏荷重 P_y を求める。

(iii) 荷重が P_y より大きい P_i に増加した状態に移行し、 P_i を A 点より移動させる。いま A 点に P_i が載荷するときの不静定量 M_i を式(i), (ii) より式(12), (13)を併用してくり返し試算により算出する。

(iv)(iii)でえた収敛値を用いてたわみ δ_i を式(11)などより算定する。

(v)以下 $i+1, i+2, \dots, B$ 点 $\rightarrow C$ 点 $\rightarrow D$ 点 $\rightarrow A$ 点の順に逐次荷重を移動させ (iii) と (iv) の操作をくり返す。

(vi) さうに荷重を P_1, P_2, \dots と逐次漸増させ、(v)の操作をくり返し、ある断面の曲げモーメント M が局部座屈発生時の限界歪 ϵ_{cr} に基づく最大限界曲げモーメント M_{cr} に達するときを最終崩壊と見做し、計算を完了する。

4. 結論

本法によってくり返し移動荷重を受ける連続桁橋のたわみ安定性について、土木学会論文集、第120号、昭和40年8月
れることとなるが、本研究の成果としては

- (1) Bilinear型の近似 M - ϕ 関係を理論的に誘導することにより、解析の簡易化を図ることにつれてきたこと。
- (2) 塑性履歴に関する係数を元および M で一般表示することにより、不静定量の算定を容易にしたしたこと。
- (3) くり返し移動荷重する場合の新しい解析手順を提示したこと。

の 3 点があげられる。

参考文献 ① 福本・吉田：くり返し荷重による連続桁橋のたわみ安定性について、土木学会論文集、第120号、昭和40年8月

② 福本・小堀・吉田：くり返し移動荷重による不静定性のたわみ安定性に関する理論と実験、土木学会論文集、第144号、昭和42年8月

③ 藤本盛久：塑性履歴と鋼構造物、建築学会論文報告集号外、昭和42年10月

④ 藤本・平賀・水本：繰返し荷重をうけた鋼構造物の歪硬化モデルを用いた弹性性解析、建築学会論文報告集、第145号、昭和43年3月

⑤ 山崎・大田・石川：補正エネルギー法による直線材構造物の弾塑性解析、土木学会論文集、第134号、昭和41年10月

⑥ 山崎・大田：エネルギー法による移動荷重を受けるラーメンの弾塑性解析、土木学会西部支部研究発表会論文集、昭和43年2月